

УДК 629.7

ПРОГНОЗИРОВАНИЕ ДАЛЬНОСТИ ПОЛЁТА САМОЛЁТА С МОДЕРНИЗИРОВАННЫМИ ДВИГАТЕЛЯМИ

© 2016 А.В. Болдырев, К.Г. Шилимов

Самарский национальный исследовательский университет имени академика С.П. Королёва

Статья поступила в редакцию 25.10.2016

Предлагается методика оценки дальности полёта самолёта с модернизированными двигателями на основе взаимоувязанных аэродинамической модели и упругой модели тела переменной плотности с учётом статической аэроупругости. Обсуждаются вопросы обеспечения достоверности расчётов по разработанной методике. Работоспособность методики подтверждается сопоставлением результатов расчётов с известными техническими характеристиками самолётов. Приводятся результаты параметрических исследований стреловидных крыльев самолётов Ил-76ТД-90ВД и А320neo с различными значениями удлинения, выполненных с использованием специального программного продукта.

Ключевые слова: двигатели, модернизация, дальность полёта, весовая и аэродинамическая эффективность, тело переменной плотности, крыло, оптимизация.

ВВЕДЕНИЕ

Основной задачей разработчиков авиационной техники является проектирование семейства самолётов, соответствующих мировому уровню или превосходящих его при относительно низких затратах. Одним из этапов жизненного цикла летательных аппаратов является создание модификаций с целью увеличения рентабельности парка самолётов в течение длительного срока эксплуатации. Достаточно эффективные двигатели со временем становятся менее конкурентоспособными по уровню эксплуатационных затрат и уже не в полной мере удовлетворяют нормам ИКАО по уровню шума на местности и эмиссии вредных веществ в атмосферу. В этой ситуации для повышения эффективности транспортной системы разработчики проводят модификацию летательного аппарата с установкой более современных двигателей.

Модернизация силовой установки, как правило, обеспечивает повышение тяги и снижение расхода топлива, что позволяет увеличить дальность полёта самолёта и массу коммерческой нагрузки. Проектные параметры базовой модели воздушного судна оптимизируются под конкретную силовую установку. В то же время невозможно обеспечить максимальную топливную эффективность при установке на существующий планер самолёта новых двигателей.

В настоящей статье рассматриваются две задачи, решаемые при проведении ремоторизации. Во-первых, прогнозируется дальность полёта

с учётом изменений в конструкции отдельных агрегатов самолёта, например, крыла в зоне навески двигателей. Во-вторых, оценивается целесообразность изменения геометрических параметров крыла для повышения транспортной эффективности летательного аппарата с новыми двигателями.

МЕТОДИКА ИССЛЕДОВАНИЯ

Использование высокоточного математического моделирования и современных систем инженерного анализа позволяет оценить технические характеристики самолёта с модернизированными двигателями и, тем самым, обосновать экономическую целесообразность модификации изделия.

Взлётная масса m_0 вычисляется с использованием уравнения существования самолёта [1]:

$$\overline{m}_0 = \frac{m_{\text{ком}} + m_{\text{сл}} + m_{\text{кон-кр}} + m_{\text{с.у}} + m_{\text{об.упр}}}{1 - \overline{m}_{\text{т}} - \overline{m}_{\text{кр}}}, \quad (1)$$

где $m_{\text{ком}}$ – масса коммерческой нагрузки; $m_{\text{сл}}$ – масса служебной нагрузки и снаряжения; $m_{\text{кон-кр}}$ – масса конструкции самолёта без учёта крыла; $m_{\text{с.у}}$ – масса силовой установки; $m_{\text{об.упр}}$ – масса оборудования и управления, $\overline{m}_{\text{т}}$ – относительная масса топлива, $\overline{m}_{\text{кр}}$ – относительная масса крыла. Величины в числителе уравнения (1) являются исходными данными для прогнозирования взлётной массы ремоторизованного самолёта.

Относительная масса топлива определяется по формуле Бреге [2]:

$$\overline{m}_{\text{т}} = 1 - e^{\left(-\frac{L_p \cdot C_{p,\text{крепс}}}{\gamma \cdot M_{\text{крепс}} \cdot K} \right)}, \quad (2)$$

где L_p – расчётная дальность полёта; $C_{p,\text{крепс}}$ –

Болдырев Андрей Вячеславович, доктор технических наук, профессор кафедры конструкции и проектирования летательных аппаратов. E-mail: bolav@ssau.ru
 Шилимов Константин Геннадиевич, аспирант кафедры конструкции и проектирования летательных аппаратов. E-mail: kshilimov@mail.ru

удельный расход топлива на крейсерском режиме; γ – числовой коэффициент, учитывающий дополнительный к крейсерскому расход топлива на взлёт, набор высоты, снижение и посадку; $M_{\text{крей}}$ – число Маха на крейсерской скорости полёта; K – аэродинамическое качество самолёта, определяемое численными методами.

Для оценки массы конструкции крыла на ранних стадиях проектирования модифицированного изделия используется модель тела переменной плотности (ТПП), предложенная В.А. Комаровым [3]. Доступный для размещения силовой конструкции объём V заполняется непрерывной упругой средой с переменной плотностью ρ . Модуль упругости E и допускаемое напряжение σ_a материала этой среды линейно зависят от его плотности:

$$E = \bar{E} \cdot \rho, \quad \sigma_a = \bar{\sigma}_a \cdot \rho,$$

где \bar{E} – удельный модуль упругости (удельная жёсткость), $\bar{\sigma}_a$ – удельная прочность при единичной плотности.

ТПП моделируется сетью конечных элементов. Плотности элементов назначаются по следующим рекуррентным соотношениям [4]:

$$\rho_i^{j+1} = \frac{(\sigma_{\text{экв}})_i^j}{\sigma_a}, \quad (3)$$

где i – номер конечного элемента; j – номер итерации; $\sigma_{\text{экв}}$ – эквивалентные напряжения.

В процессе оптимизации распределения материала по (3) получается конструкция с минимальным значением силового фактора G [5], который отражает величину внутренних усилий в конструкции и протяжённость их действия:

$$G = \int_V \sigma_{\text{экв}} \cdot dV.$$

На прогнозных стадиях разработки летательного аппарата для оценки весового совершенства

конструкции удобно пользоваться безразмерным коэффициентом силового фактора C_K , который вычисляется по соотношению [6]:

$$C_K = \frac{G}{P \cdot L} = \frac{G}{Y_a \cdot \sqrt{S}},$$

где P – характерная нагрузка; L – характерный размер. Для крыла в качестве характерной нагрузки принимается величина подъёмной силы Y_a , а в качестве характерного размера – корень квадратный из площади крыла \sqrt{S} .

Через коэффициент силового фактора определяется относительная масса крыла, вычисляемая по формуле:

$$\bar{m}_{\text{kp}} = \phi \cdot n_p \cdot g \cdot \sqrt{S} \cdot C_K \cdot \frac{1}{\sigma_a}, \quad (4)$$

где ϕ – коэффициент полной массы, выражающий отношение полной массы конструкции крыла к массе силового материала; n_p – расчётная перегрузка; g – ускорение свободного падения.

Для целей настоящего исследования используется программа WINGOPT [7], принципиальная схема которой представлена на рис. 1. Численный расчёт аэродинамических характеристик самолёта проводится в среде программы APAME [8], реализующей вариант панельного метода аэrodинамики. Конечно-элементный анализ напряжённо-деформированного состояния ТПП выполняется с помощью программы NASTRAN [9]. Расчёты выполняются с учётом аeroупругих явлений [10].

Возможности современной версии программы WINGOPT ограничены моделированием аэродинамических характеристик изолированного крыла. В расчётах \bar{m}_{t} по формуле (2) аэродинамическое качество самолёта принимается пропорциональным аэродинамическому качеству крыла, а коэффициент γ дополнительно

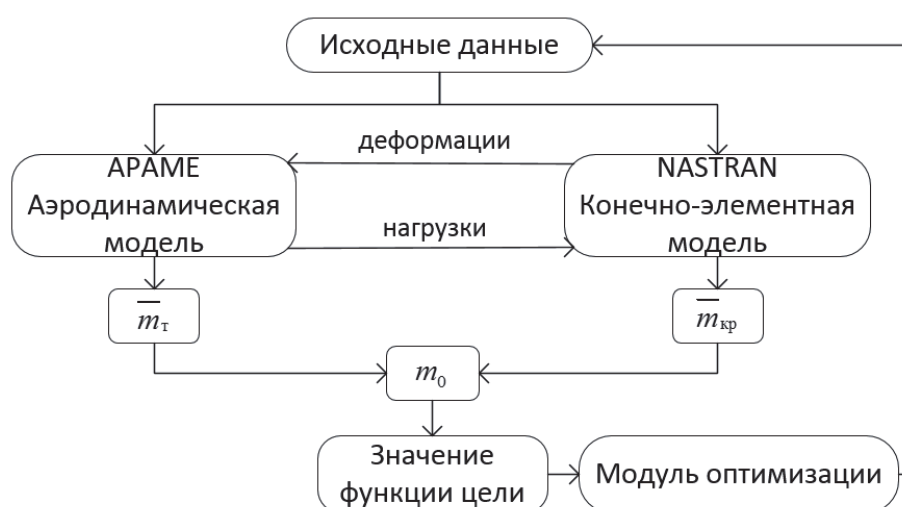


Рис. 1. Принципиальная схема программы WINGOPT

учитывает сопротивление других агрегатов и со- противление интерференции.

Оценку влияния характеристик модернизиро- ванных двигателей на изменение дальности полёта самолёта предлагается проводить в три этапа. На первом этапе исследования осуществляется настройка математической модели определения взлётной массы летательного аппарата на основе информации о существующем самолёте (базовом изделии), характеристики которого принимаются за эталон. Второй этап включает определение дальности полёта и взлётной массы самолёта с новой силовой установкой и существую- щей геометрией крыла.

На третьем этапе осуществляется прогнози- рование технических характеристик самолёта с модернизированными двигателями и оптими- зированными параметрами внешнего облика крыла. Проектными переменными являются без-размерные параметры крыла, такие как сужение, удлинение, углы крутки и другие [11]. В качестве целевой функции выступает взлётная масса само- лёта, определяемая по формуле (1), или коэффициент топливной эффективности q_t :

$$q_t = \frac{m_t}{n_{\text{пасс}} \cdot L_p},$$

где $n_{\text{пасс}}$ – количество перевозимых пассажиров.

Ограничениями в задаче оптимизации вы- ступают условия физической реализуемости про- екта, требования технического задания и Авиа- ционных правил. Задача отыскания оптимальных геометрических параметров крыла решается на основе поискового метода оптимизации [12] с ис- пользованием поверхности отклика, для аппрок- симации которой используется полином второй степени. Коэффициенты полинома находятся по методу наименьших квадратов.

ВОПРОСЫ ОБЕСПЕЧЕНИЯ ДОСТОВЕРНОСТИ ПРОГНОЗИРОВАНИЯ

Для обеспечения адекватности математи- ческой модели определения дальности полёта самолёта разработана методика, представленная на рис. 2. Все величины в формулах (1)...(4), кроме коэффициентов φ и γ , могут быть определены на основе анализа взаимоувязанных аэродинами- ческой и конечно-элементной моделей самолёта. Блок-схема методики содержит внутренний цикл для настройки коэффициента γ и внешний цикл для настройки коэффициента φ .

В блоке 1 формируются исходные данные – геометрические, лётно-технические и массовые характеристики базового самолёта-прототипа. В блоке 2 строится аэродинамическая модель самолёта, проводится её расчёт, определяются нагрузки. В блоке 3 задаётся начальное значение настроичного коэффициента γ . В блоке 4 опреде-

ляется значение аэродинамического качества K , далее в блоке 5 по формуле (2) рассчитывается относительная масса топлива m_t . В блоке 6 про- веряется условие сходимости вычислительного процесса по m_t . Если полученное значение m_t отличается от эталона, то изменяется значение коэффициента γ в блоке 3, и процесс вычисления m_t повторяется до стабилизации.

Далее в блоке 7 строится конечно-элемент- ная модель ТПП крыла с учётом рекомендаций [10]. В блоке 8 выбирается начальное значение настроичного коэффициента φ . В блок 9 из аэро- динамической модели передаются нагрузки, определённые при расчёте перегрузке n_p и при перегрузке $n_p = 1$. В блоке 10 проводится оптими- зация распределения материала ТПП для рас- чётной нагрузки по соотношениям (3). В блоке 11 определяются деформации крыла при перегрузке $n_p = 1$ с учётом разгрузки от масс конструкции и топлива, размещённого в кессоне. Затем управ- ление передаётся в блок 2, где по деформациям конечно-элементной модели ТПП перестраива- ется аэродинамическая модель, производится уточнение распределения аэродинамической нагрузки и далее повторяется весь цикл расчётов в блоках 3...12. После достижения сходимости по деформациям (блок 12) в блоке 13 рассчитывается относительная масса крыла по формуле (4). По-лученное значение $m_{\text{кр}}$ сравнивается в блоке 14 со значением массы крыла прототипа. В случае несоответствия масс в блоке 8 изменяется значе- ние коэффициента φ и проводится новый расчёт.

После достижения сходимости в цикле по $m_{\text{кр}}$ управление передаётся в блок 15, где определя- ется взлётная масса самолёта по выражению (1).

На следующем этапе исследования с исполь- зованием найденных значений коэффициентов γ и φ в блоках 2...15 прогнозируется дальность полёта летательного аппарата с модернизированными двигателями и существующей геометрией крыла.

Далее в блоке 16 решается задача выбора оптимальных геометрических параметров крыла самолёта с новыми двигателями.

ЧИСЛЕННЫЕ ПРИМЕРЫ

Для проверки работоспособности разрабо- танной методики в качестве объектов исследо- вания выбраны самолёты Ил-76ТД и Airbus A320, которые прошли этап модернизации силовой установки. Для этих самолётов известны техни- ческие характеристики, принимаемые в настоя- щей работе за эталон. Сравниваются прогнозные значения дальности полёта ремоторизованных самолётов с эталонными значениями. В задаче оптимизации геометрических параметров крыла исследуется влияние удлинения крыла на целе-

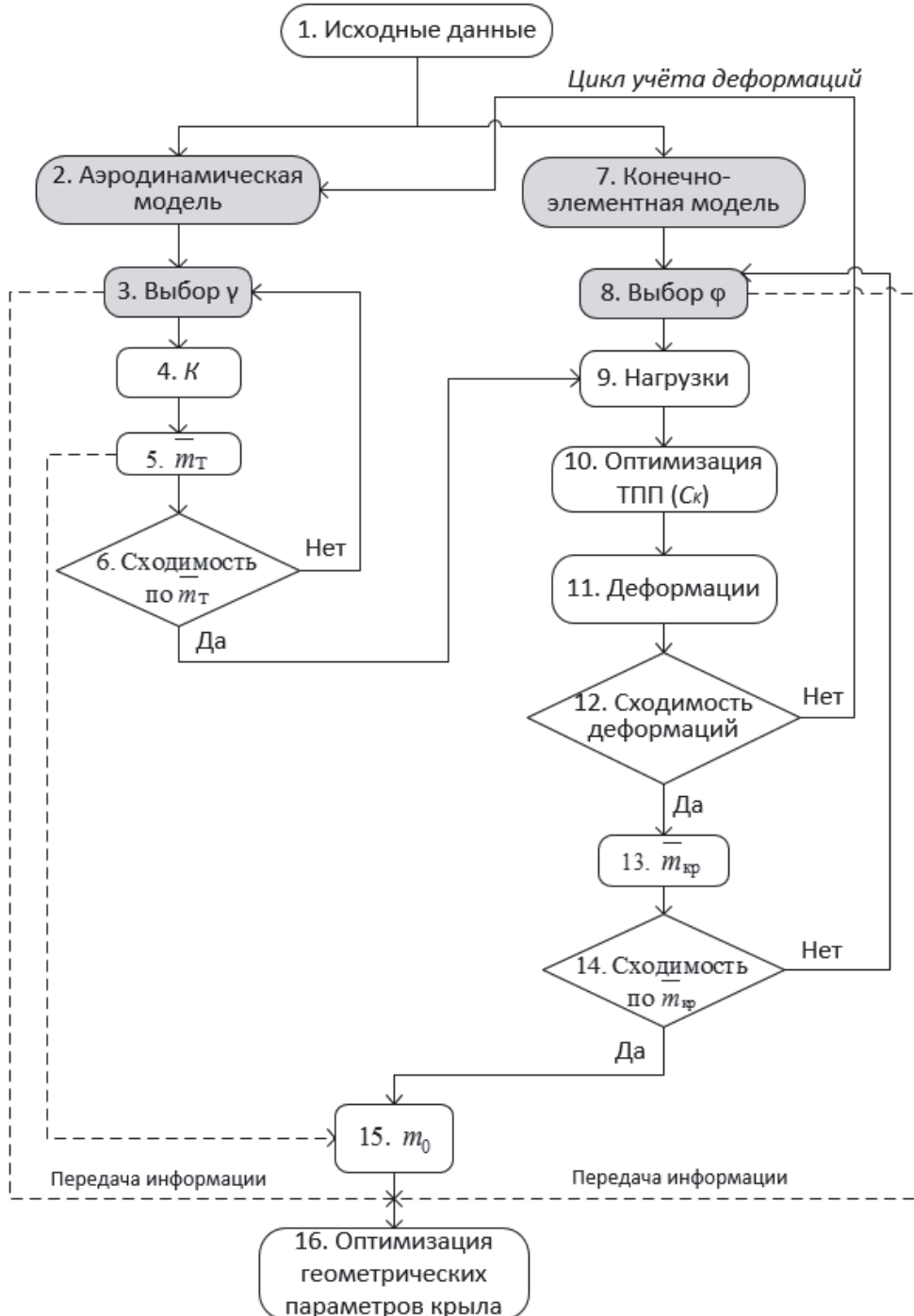


Рис. 2. Блок-схема методики настройки математической модели

вую функцию при заданной коммерческой нагрузке и дальности полёта.

Ил-76ТД. Приняты следующие характеристики самолёта Ил-76ТД [13]: $m_0 = 190\ 000$ кг; $m_{\text{сп}} = 4\ 100$ кг; $m_{\text{кон-кр}} = 34\ 200$ кг; $m_{c,y} = 15\ 150$ кг; $m_{\text{об.упр}} = 15\ 250$ кг; удельная нагрузка на крыло $p_0 = 621$ дан/м²; для двигателя Д-30КП-2 $C_{p,\text{крейс}} = 0,705$ кг/(дан·ч). Геометрические параметры крыла: $S = 300,0$ м²; удлинение $\lambda = 8,5$; сужение $\eta = 3,0$. Характеристики конструкционного материала: $E = 70\ 000$ МПа; $\rho = 2\ 700$ кг/м³; $\sigma_a = 300$ МПа.

По разработанной методике для четырёх вариантов загрузки самолёта получены значения

коэффициентов φ и γ , представленные в табл. 1. Символ $(^*)$ относится к величинам, рассчитанным в программе WINGOPT.

С использованием найденных значений φ и γ выполнено прогнозирование дальности полёта для самолёта Ил-76ТД с модернизированными двигателями ПС-90А-76. Взлётная масса Ил-76ТД-90ВД возросла до $m_0 = 195\ 000$ кг, $p_0 = 638$ дан/м², для ПС-90А-76 $C_{p,\text{крейс}} = 0,595$ кг/(дан·ч).

Результаты расчётов представлены в табл. 2, где $\Delta L = [(L_p^* - L_p) / L_p] \cdot 100\ %$ – погрешность прогноза дальности полёта.

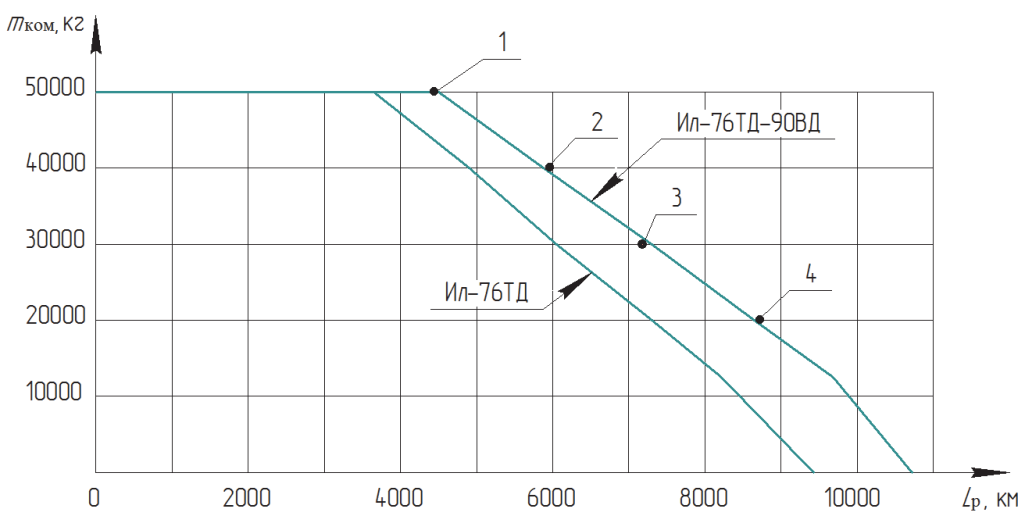
На рис. 3 показаны графики зависимостей

Таблица 1. Результаты расчётов самолёта Ил-76ТД

№	$m_{\text{ком}}$, кг	L_p , км	φ	γ	m_0^* , кг
1	50 000	3 650	2,040	0,289	189 980
2	40 000	4 900	2,127	0,315	189 720
3	30 000	6 050	2,227	0,320	189 970
4	20 000	7 300	2,331	0,328	189 660

Таблица 2. Результаты расчётов самолёта Ил-76ТД-90ВД

№	$m_{\text{ком}}$, кг	L_p , км	L_p^* , км	ΔL , %	m_0^* , кг
1	50 000	4 500	4 460	-0,9	195 330
2	40 000	5 880	5 930	0,9	194 710
3	30 000	7 300	7 190	-1,5	195 230
4	20 000	8 650	8 700	0,6	195 440

**Рис. 3.** Зависимость дальности полёта от коммерческой нагрузки

дальности полёта от коммерческой нагрузки для самолётов Ил-76ТД, Ил-76ТД-90ВД [13] и прогнозные данные, полученные расчёты путём (обозначены цифрами). Прогнозные значения дальности полёта согласуются с эталонными значениями, что подтверждает достоверность математической модели и работоспособность предложенной методики.

На следующем этапе исследований выполнена оптимизация удлинения крыла самолёта Ил-76ТД-90ВД. В качестве целевой функции выступает взлётная масса. Результаты оптимизации для двух вариантов загрузки самолёта представлены в табл. 3. С целью обеспечения технологичности принимаемых решений по модификации самолёта рассматривалась возможность увеличения размаха крыла за счёт изменения концевых частей.

A320. Использованы следующие характеристики самолёта A320 [14]: $m_0 = 78 000$ кг; $m_{\text{сп}} = 2 671$ кг; $m_{\text{кон-кр}} = 14 040$ кг; $m_{\text{с.y}} = 9 360$ кг; $m_{\text{об.упр}} = 10 140$ кг; $p_0 = 624$ даН/м²; для двигателя

CFM56-5B $C_{p,\text{крайс}} = 0,6$ кг/(даН·ч). Геометрические параметры крыла: $S = 122,6$ м²; $\lambda = 9,5$; $\eta = 4,5$. Форма консоли крыла в плане, показанная на рис. 4, характеризуется двумя трапециями, где l – размах крыла. В расчётах приняты следующие характеристики основного конструкционного материала: $E = 70 000$ МПа, $\rho = 2 700$ кг/м³, $\sigma_a = 300$ МПа.

Для трёх вариантов загрузки самолёта получены значения коэффициентов φ и γ , представленные в табл. 4.

Далее выполнено прогнозирование дальности полёта для самолёта A320neo с модернизированными двигателями Pratt & Whitney PW1100G. Взлётная масса A320neo возросла до $m_0 = 79 000$ кг, $p_0 = 632$ даН/м², для нового двигателя $C_{p,\text{крайс}}$ составляет 0,51 кг/(даН·ч) [14]. Результаты расчётов представлены в табл. 5.

На рис. 5 показаны графики зависимостей дальности полёта от коммерческой нагрузки для самолётов A320, A320neo [14] и прогнозные данные, полученные расчёты путём.

Таблица 3. Результаты оптимизации удлинения крыла Ил-76ТД-90ВД

№	$m_{\text{ком}}$, кг	L_p^* , км	λ^*	m_0^* , кг
1	50 000	4 460	8,8	193 645
2	30 000	7 190	9,7	189 060

Затем проведена оптимизация удлинения второй трапеции крыла λ_2 самолёта A320neo. В качестве целевой функции выступает коэффициент топливной эффективности. Результаты оптимизации для режима полёта с максимальной коммерческой нагрузкой самолёта представлены в табл. 6.

ЗАКЛЮЧЕНИЕ

Разработана методика прогнозирования дальности полёта самолёта с модернизированными двигателями при заданной коммерческой нагрузке. Методика апробирована на примере самолётов A320 и Ил-76ТД. Погрешность прогнозирования дальности полёта для разных вариан-

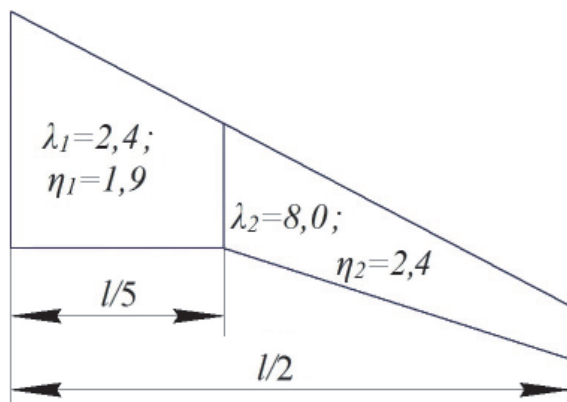


Рис. 4. Схема консоли крыла самолёта A320

Таблица 4. Результаты расчётов самолёта A320

Nº	$m_{\text{КОМ}}$, кг	L_p , км	φ	γ	m_0^* , кг	q_t^* , г/пасс·км
1	19 100	3 930	2,290	0,415	78 090	19,2
2	15 000	5 430	2,333	0,426	78 070	23,1
3	13 140	6 130	2,370	0,428	78 065	25,8

Таблица 5. Результаты расчётов самолёта A320neo

Nº	$m_{\text{КОМ}}$, кг	L_p , км	L_p^* , км	ΔL , %	m_0^* , кг	q_t^* , г/пасс·км
1	19 300	4 575	4 580	0,1	79 040	16,5
2	15 000	6 450	6 440	-0,2	79 010	20,0
3	12 715	7 450	7 445	-0,1	79 030	23,3

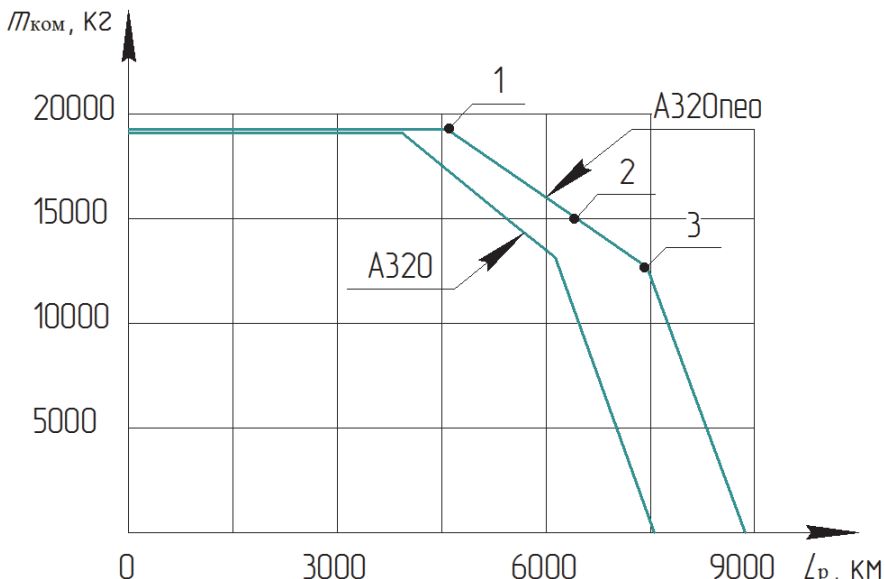


Рис. 5. Зависимость дальности полёта от коммерческой нагрузки

Таблица 6. Результаты оптимизации удлинения крыла A320neo

$m_{\text{КОМ}}$, кг	L_p^* , км	λ_2	λ_2^*	m_0^* , кг	q_t^* , г/пасс·км
19 300	4 580	8,0	8,1	78 930	16,4

тов загрузки самолётов с модернизированными двигателями не превысила 1,5 %, что подтверждает работоспособность методики.

Исследование рациональных параметров удлинения крыла Ил-76ТД-90ВД с учётом весовой и аэродинамической эффективности самолёта

показало целесообразность незначительного увеличения удлинения с 8,5 до 8,8 за счёт изменения концевых частей крыла. Рациональное значение удлинения $\lambda^* = 8,8$ обеспечивает снижение взлётной массы самолёта примерно на 1 300 кг в режиме полёта с максимальной коммерческой нагрузкой.

Проведены параметрические исследования удлинения стреловидного крыла самолёта A320neo для режима полёта с максимальной коммерческой нагрузкой. Полученное значение удлинения из условия минимума коэффициента топливной эффективности близко к удлинению крыла базового самолёта.

СПИСОК ЛИТЕРАТУРЫ

1. Корольков О.Н. Уравнение и область существования самолёта // Полёт. 2001. № 10. С. 45-52.
2. Комплексный учёт весовой и аэродинамической эффективности крыльев в проектировании самолётов / А.А. Вырыпаев, Д.М. Козлов, В.А. Комаров, А.С. Кузнецов // Общероссийский научно-технический журнал «Полёт». 2010. № 10. С. 35-44.
3. Комаров В.А. Проектирование силовых схем авиационных конструкций // Актуальные проблемы авиационной науки и техники. М.: Машиностроение, 1984. С. 114-129.
4. Aircraft design using a variable density model / V.A. Komarov, A.V. Boldyrev, A.S. Kuznetsov, M.Yu. Lapteva // Aircraft Engineering and Aerospace Technology. 2012. V. 84. Iss. 3. PP. 162-171.
5. Комаров А.А. Основы проектирования силовых конструкций. Куйбышев: Куйбышевское книжное издательство, 1965. 88 с.
6. Комаров В.А. Весовой анализ авиационных конструкций: теоретические основы // Общероссийский научно-технический журнал «Полёт». 2000. № 1. С. 31-39.
7. Комаров В.А., Кузнецов А.С. Программа для выбора рациональных геометрических параметров крыла самолёта «WINGOPT». Свидетельство о государственной регистрации программы для ЭВМ: № 2011615448 (РФ). 2011.
8. Веб-сайт программы Apame. [Электрон. ресурс]. URL: <http://www.3dpanelmethod.com/> (дата обращения 25.09.2016).
9. Рычков С.П. MSC.visualNASTRAN для Windows. М.: НТ Пресс, 2004. 552 с.
10. Учёт статической аэроупругости на ранних стадиях проектирования / А.В. Болдырев, В.А. Комаров, М.Ю. Лаптева, К.Ф. Попович // Общероссийский научно-технический журнал «Полёт». 2008. № 1. С. 34-39.
11. Sobieszczanski-Sobieski J., Haftka R.T. Multidisciplinary Aerospace Design Optimization: a Survey of Recent Developments // Structural and Multidisciplinary Optimization. 1997. V. 14. № 1. PP. 1-23.
12. Кузнецов А.С. Алгоритм выбора рациональных параметров крыла с учётом аэродинамической и весовой эффективности // Известия Самарского научного центра Российской академии наук. 2010. Т. 12 (33). № 1 (2). С. 404-406.
13. Характеристики транспортных самолётов ОАО «Ил». [Электронный ресурс]. URL: <http://www.ilyushin.org/aircrafts/transport/> (дата обращения 26.09.2016).
14. Характеристики самолётов семейства A320. [Электронный ресурс]. URL: <http://www.airbus.com/aircraftfamilies/passengeraircraft/a320family/> (дата обращения 26.09.2016).

FLIGHT RANGE PREDICTION OF AIRCRAFT WITH MODERNIZED ENGINES

© 2016 A.V. Boldyrev, K.G. Shilimov

Samara National Research University named after Academician S.P. Korolev

The paper proposes a method of flight range estimating for remotorized aircraft in view of static aeroelasticity. A method is based on interrelated aerodynamic model and the elastic variable density body model. The issues of ensuring the reliability of calculations by the developed technique is discussed. The performance of the method is confirmed by comparing the results of calculations with known technical characteristics of the aircraft. Results of parametric studies swept wing aircraft IL-76TD-90VD and A320neo with different aspect ratio values. The studies were performed using special software.

Keywords: engines, modernization, flight range, weight and aerodynamic efficiency, variable density body, wing, optimization.